

Лекция

Кровоснабжение ствола мозга и альтернирующие синдромы

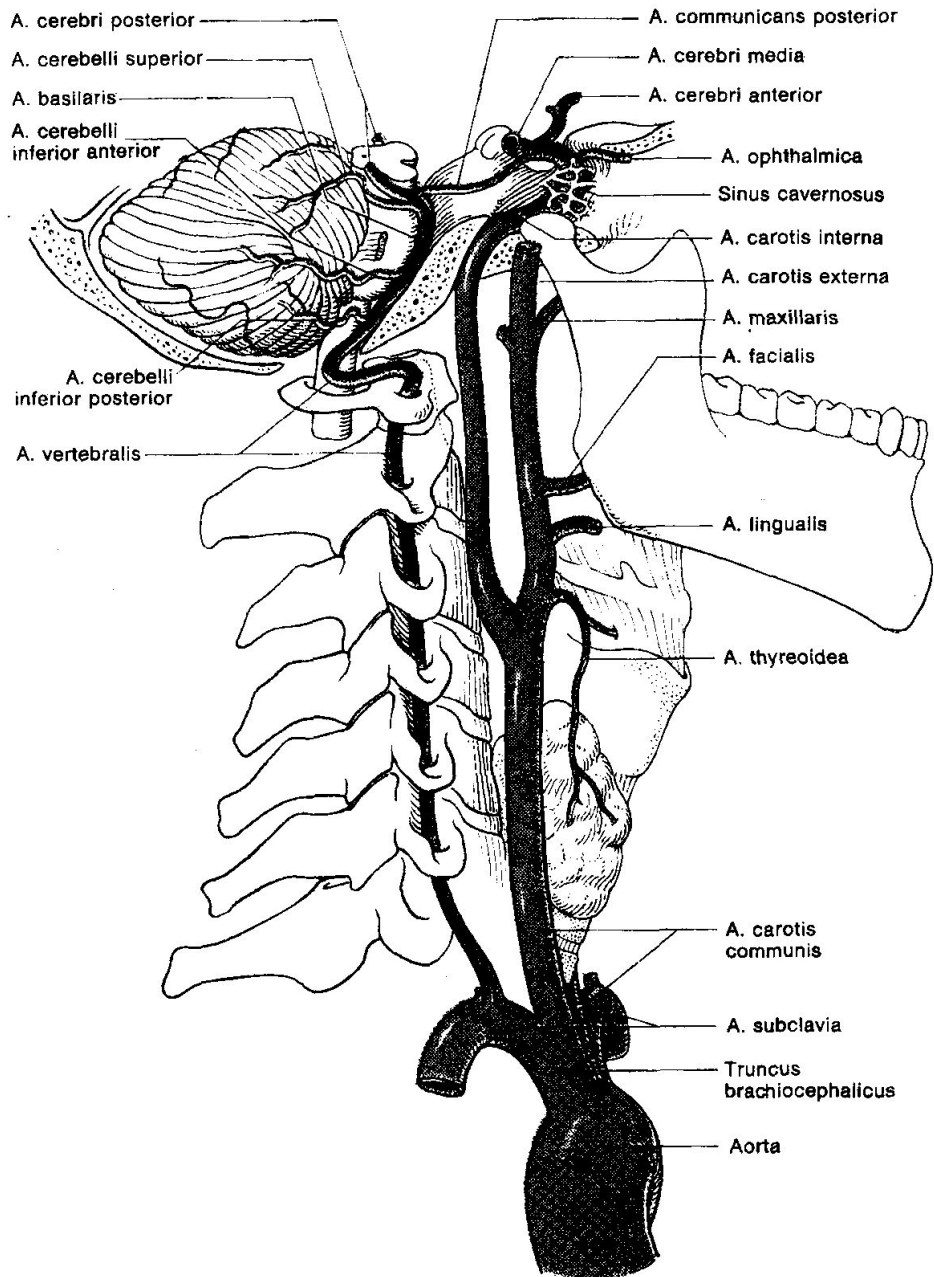


Рис. 8.33. Экстракраниальный ход
 больших артериальных сосудов
 (общая и внутренняя сонная артерии и
 позвоночные артерии).

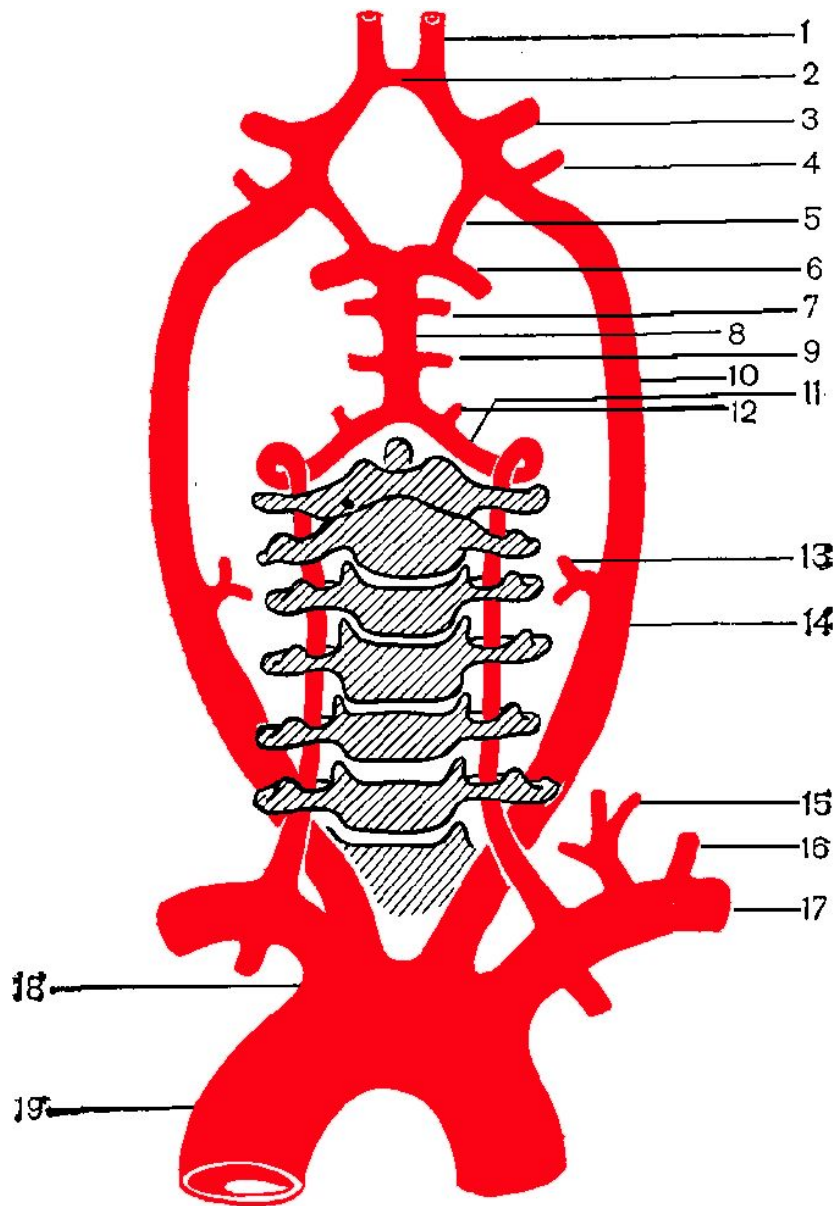
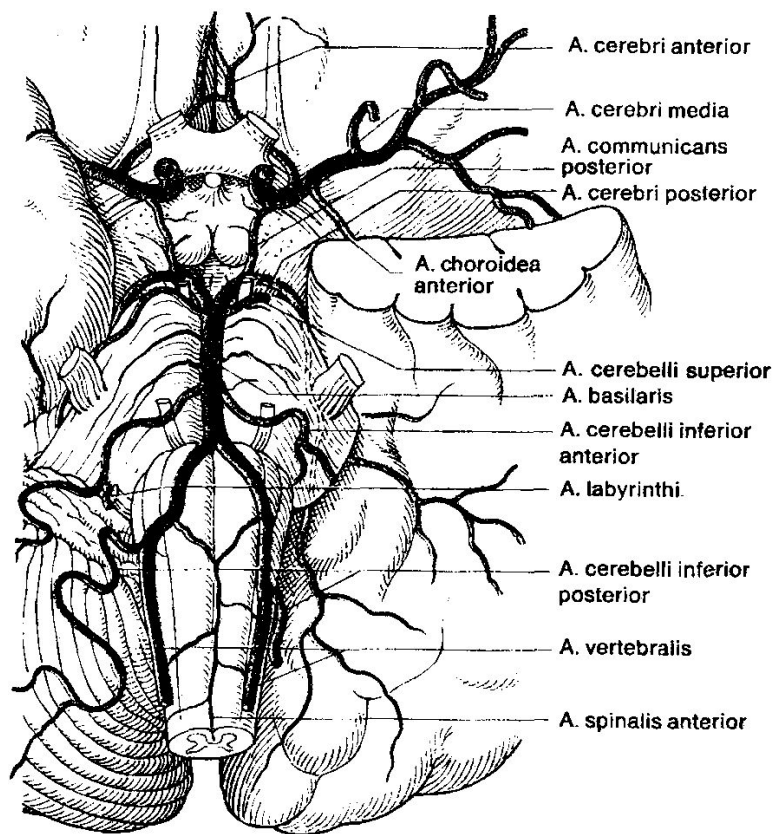


Рис. 1. Магистральные артерии головы и сосуды основания мозга (схема).

- 1 — передняя мозговая артерия,
- 2 — передняя соединительная артерия,
- 3 — средняя мозговая артерия,
- 4 — глазничная артерия,
- 5 — задняя соединительная артерия,
- 6 — задняя мозговая артерия,
- 7 — верхняя артерия мозжечка,
- 8 — основная артерия.
- 9 — передняя нижняя артерия мозжечка,
- 10 — внутренняя сонная артерия,
- 11 — позвоночная артерия,
- 12 — задняя нижняя артерия мозжечка,
- 13 — наружная сонная артерия,
- 14 — общая сонная артерия,
- 15 — щитошейный ствол,
- 16 — реберно-шейный ствол,
- 17 — подключичная артерия,
- 18 — плечеголовной ствол,
- 19 — аорта.



Rr. ad pontem

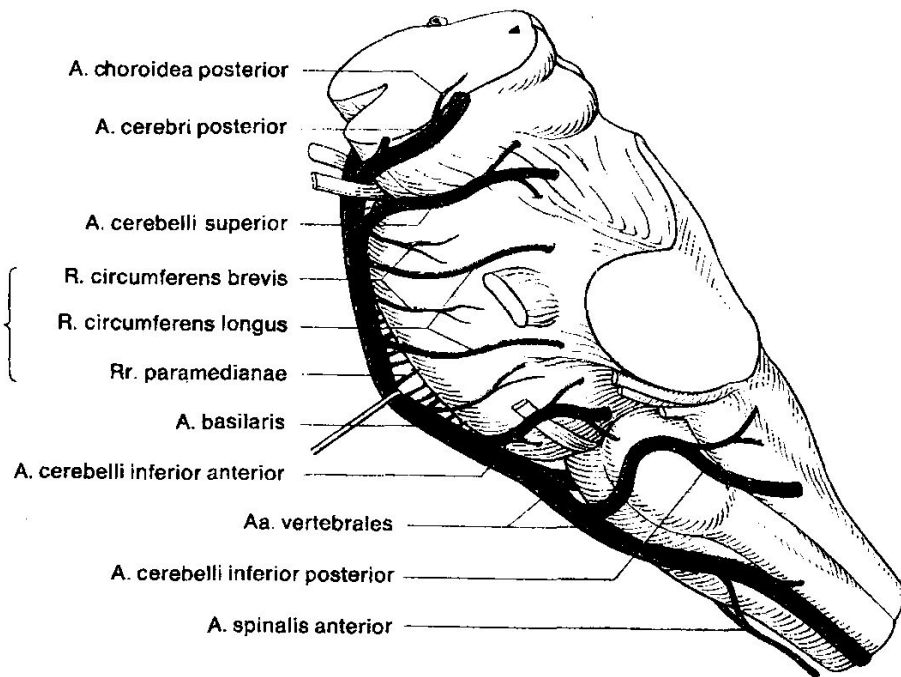


Рис. 3.52 и 3.53 Артериальное кровоснабжение ствола мозга (вид со стороны основания мозга и сбоку). По П. Дуусу.

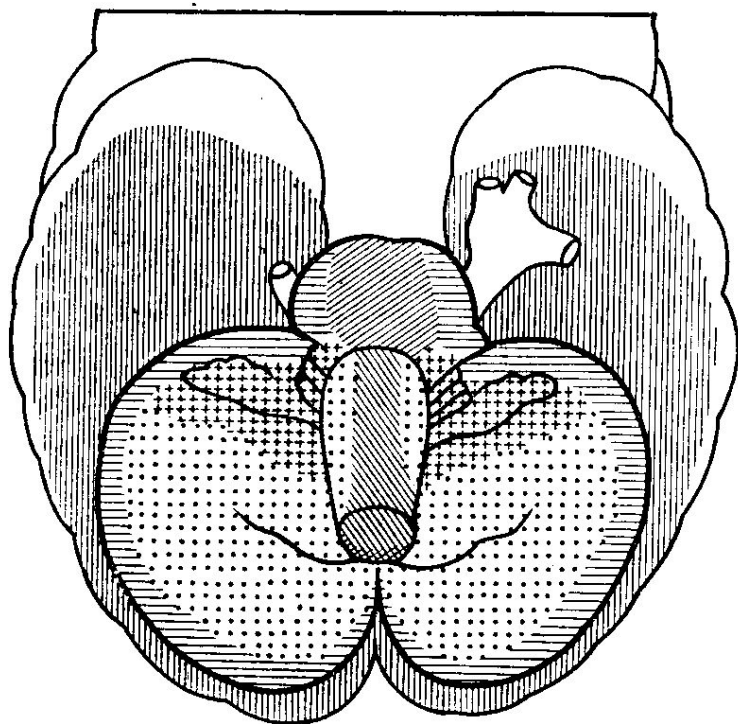
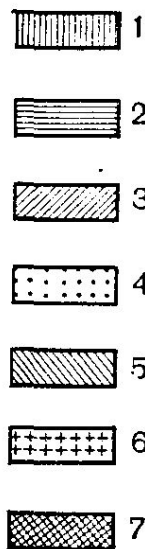


Рис. 2. Вертебрально-базилярная система (Krayenbuhl, Yasargil, 1957).



- 1 — бассейн задней мозговой артерии,
- 2 — бассейн верхней артерии мозжечка,
- 3 — бассейн парамедианных ветвей основной артерии,
- 4 — бассейн задней нижней артерии мозжечка,
- 5 — бассейн передней спинальной артерии и парамедианных ветвей позвоночной артерии,
- 6 — бассейн передней нижней артерии мозжечка,
- 7 — бассейн задних спинальных артерий.

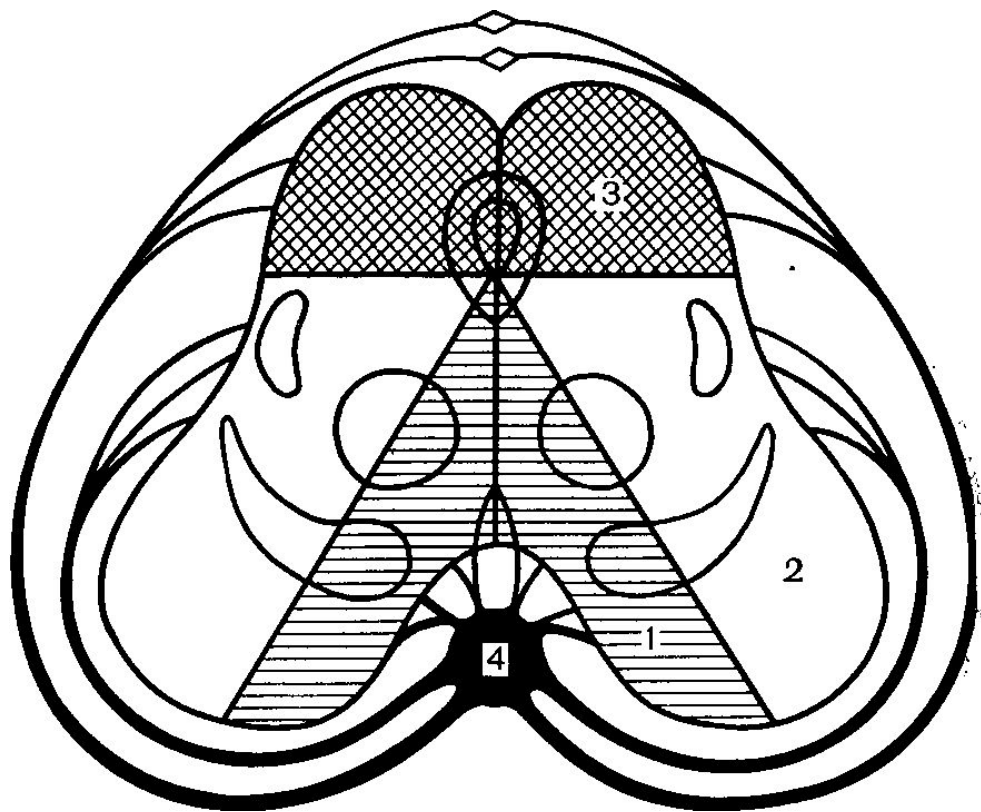


Рис. 6. Схема кровоснабжения мозгового ствола (средний мозг) (Foix, Hillemand, 1925).

- 1—бассейн парамедианных артерий,
- 2—бассейн коротких огибающих артерий,
- 3 — бассейн длинных огибающих артерий,
- 4 — основная артерия.

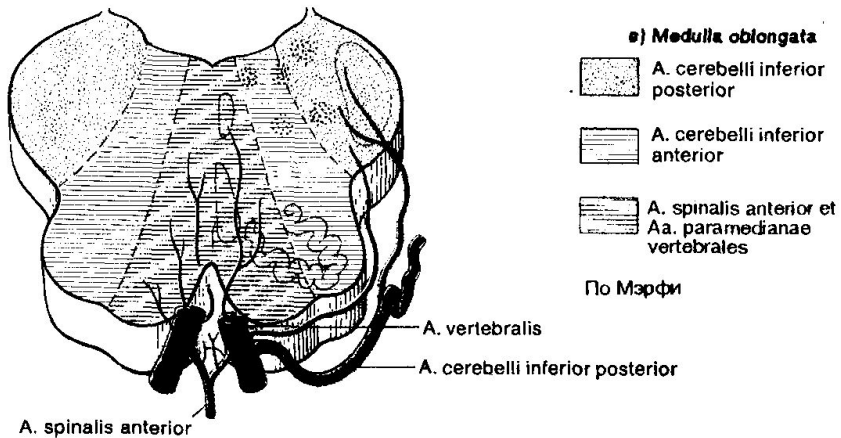
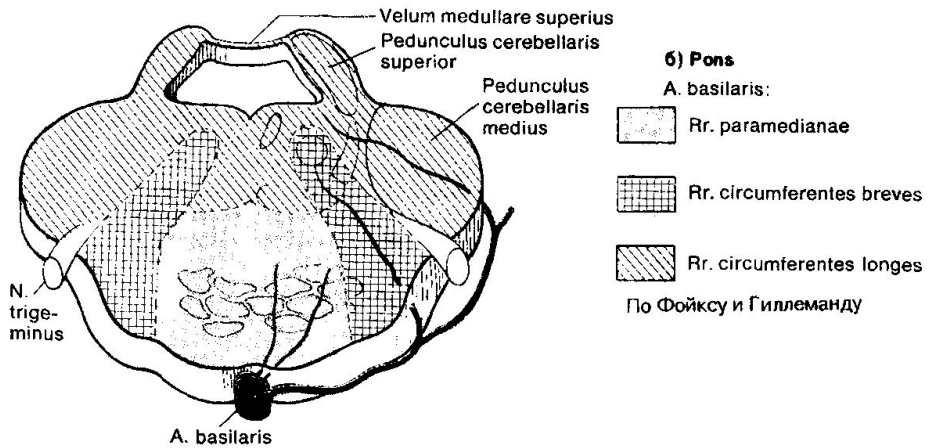
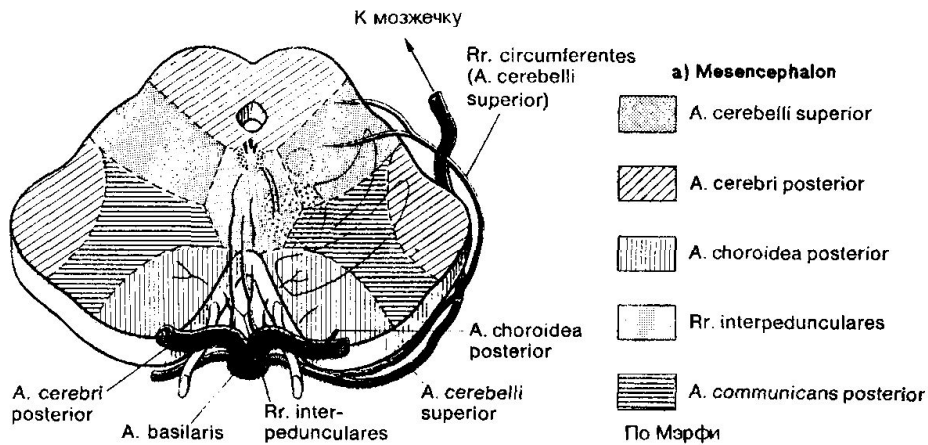
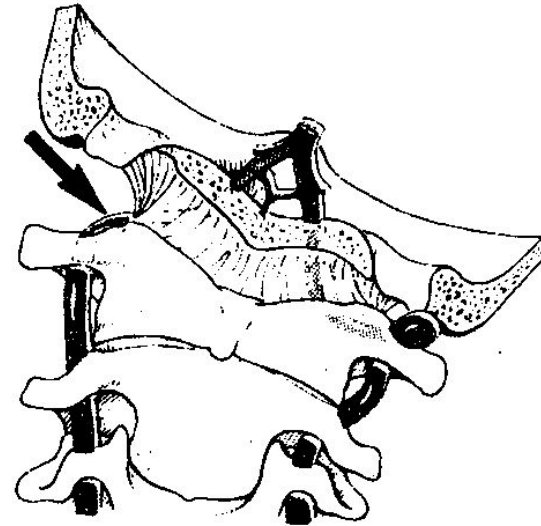
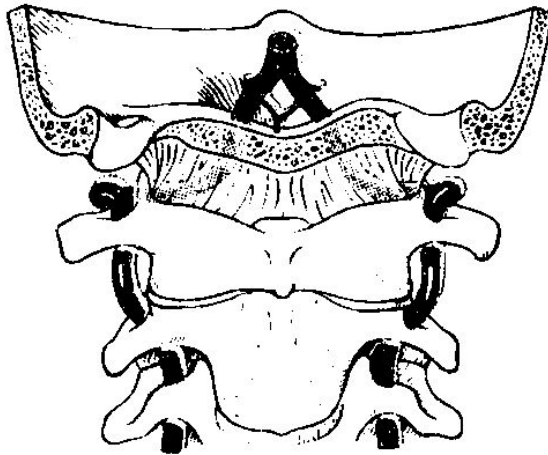


Рис. 3.54 Зоны артериального кровоснабжения ствола мозга
 а - средний мозг,
 б - варолиев мост,
 в - продолговатый мозг.

Рис. 8.40а Стенозирование позвоночной артерии в атланто-затылочном суставе при наклоне головы в противоположную сторону.



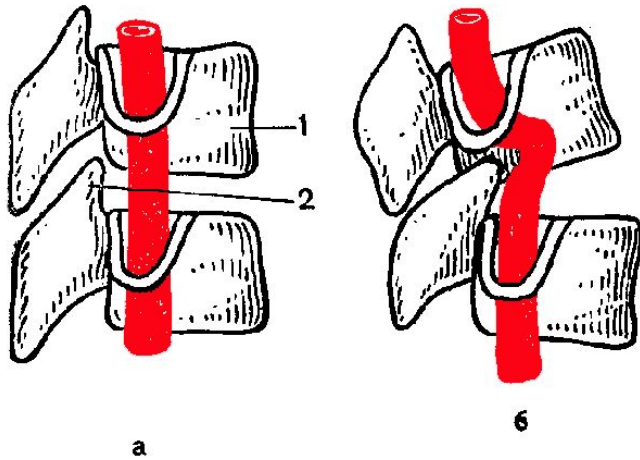


Рис. 24. Подвывих в межпозвонковом суставе по Ковачу (схема Я. Ю. Попелянского, 1966).

а — нормальный позвоночный сегмент.

1 — тело позвонка, 2 — передний угол верхнего суставного отростка;

б — подвывих в межпозвонковом суставе с деформацией позвоночной артерии

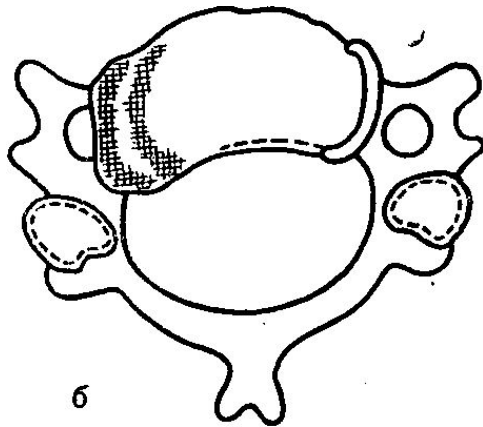


Рис. 25. Схема распространения грыжи диска в межпозвонковое отверстие и канал позвоночной артерии. (Yung, X, 1972)

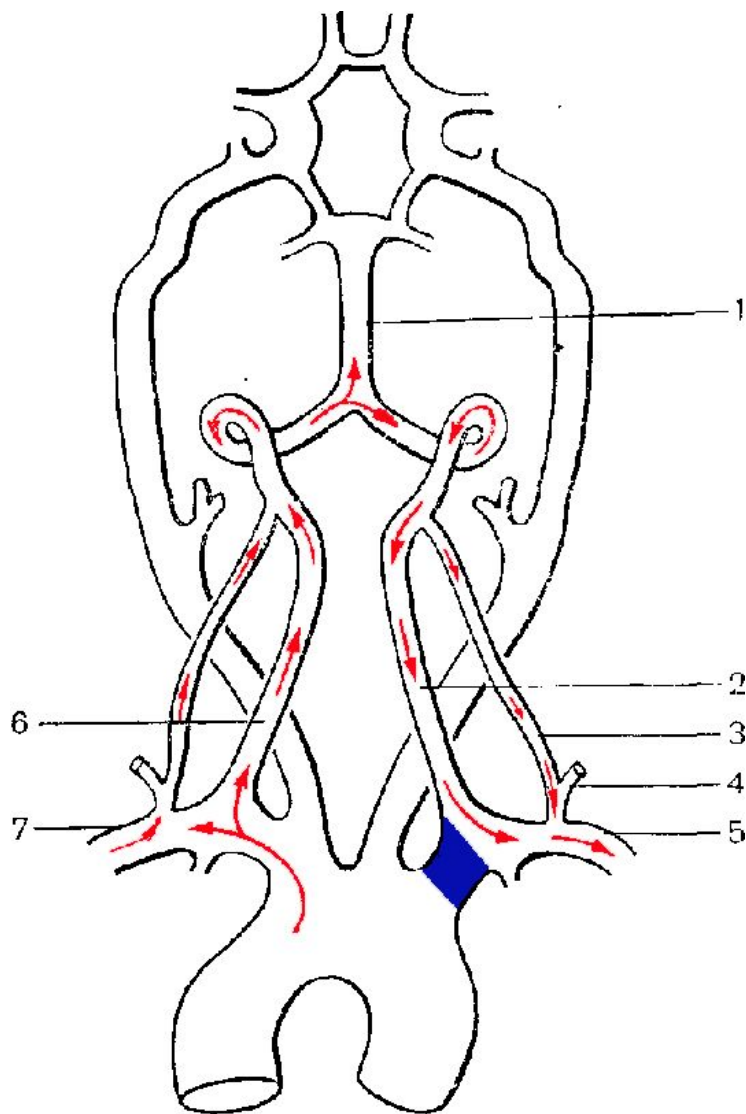


Рис. 9. Подключичный “феномен обкрадывания” (схема).

- 1 — основная артерия,
- 2 — левая позвоночная артерия,
- 3 —. восходящая шейная артерия,
- 4 — щитошейный ствол,
- 5 — левая подключичная артерия,
- 6 — правая позвоночная артерия,
- 7 — правая подключичная артерия.

Закупорка проксимального отдела левой подключичной артерии. Стрелками показан путь перетока крови из правой позвоночной артерии через основную артерию в левую позвоночную и далее — в левую подключичную артерию

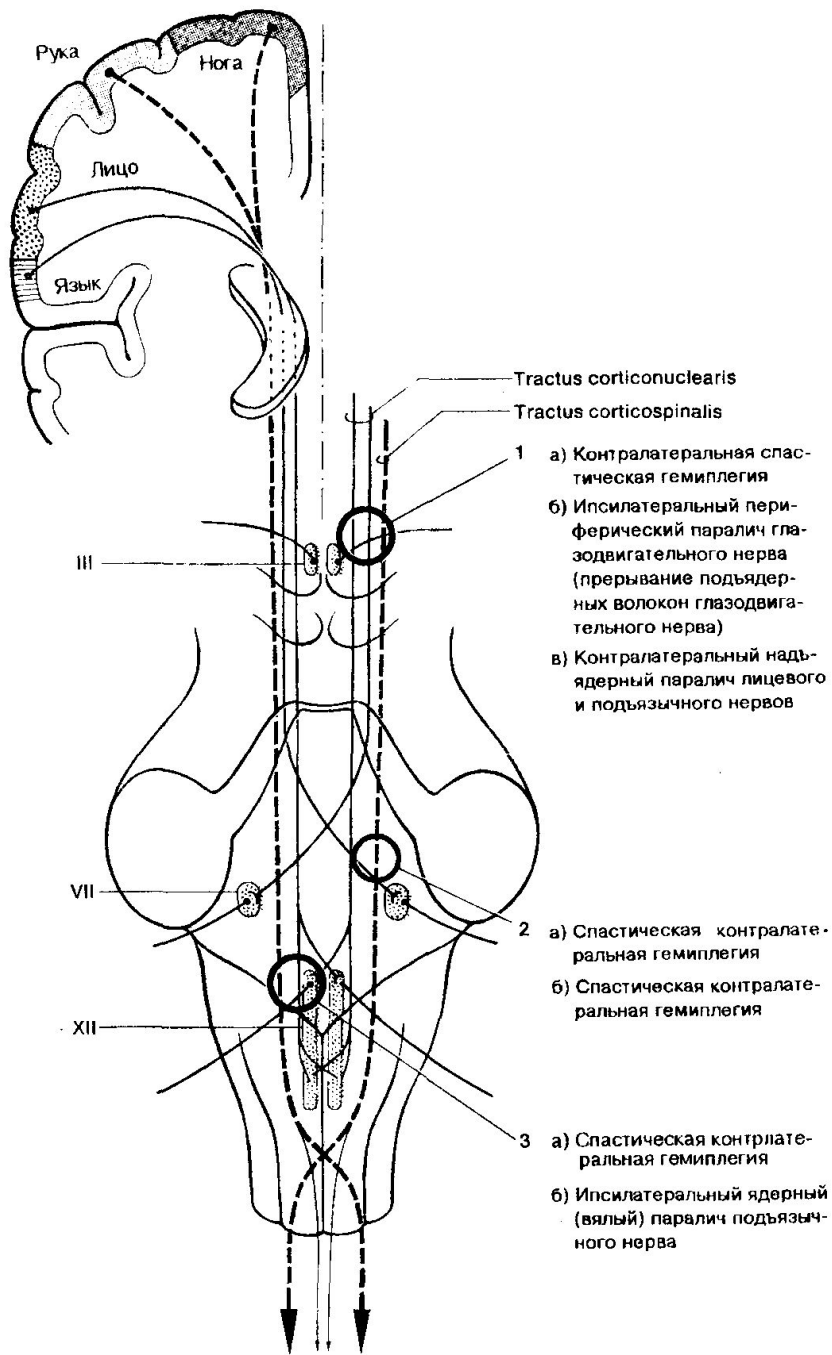


Рис. 3.55 Три очага поражения ствола головного мозга, вызывающие развитие контралатеральной спастической гемиплегии.

Дополнительные симптомы позволяют установить специфический топический диагноз.

Рис. 3.56 Дорсолатеральный синдром продолговатого мозга (синдром Валленберга-Захарченко).

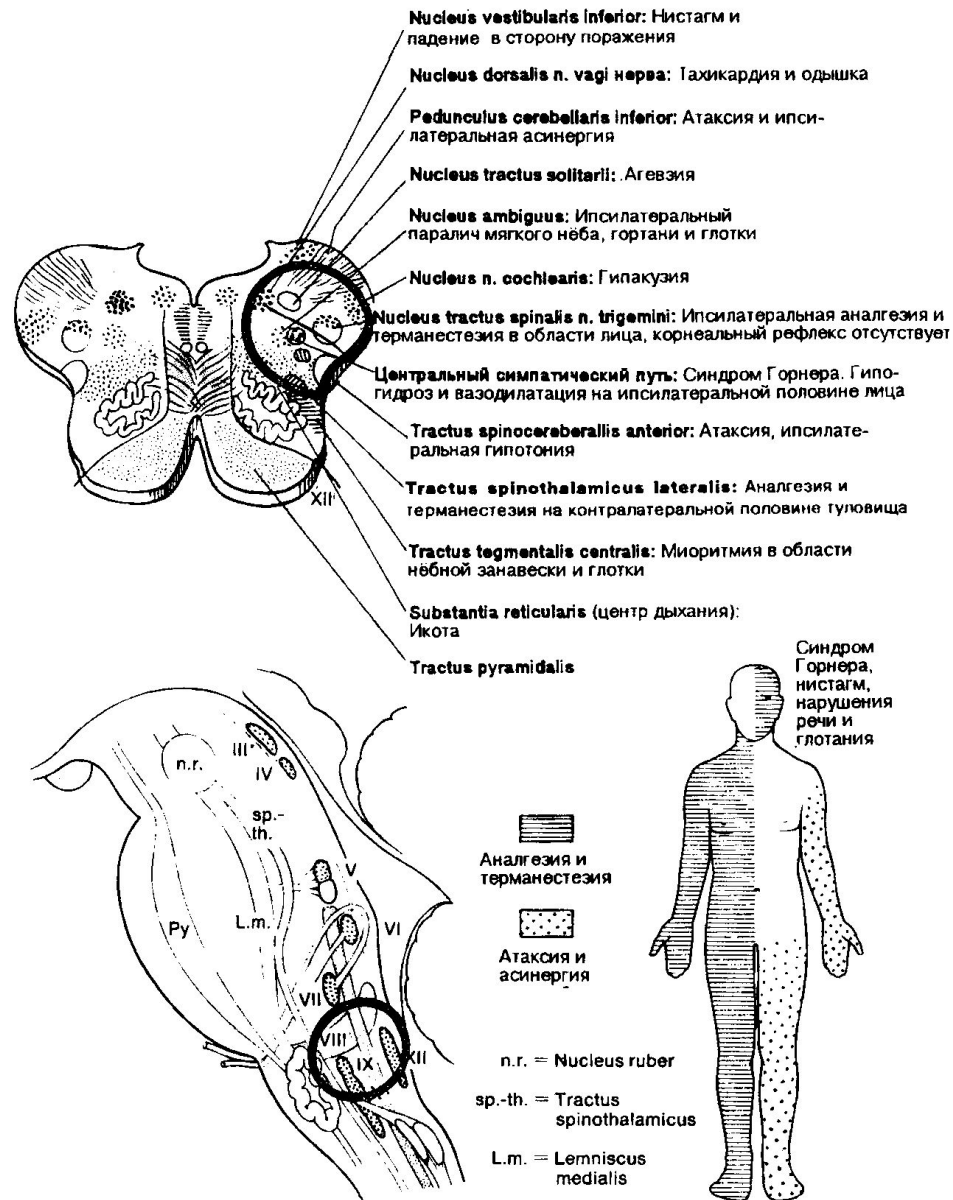


Рис. 3.57 Медиальный синдром продолговатого мозга (синдром Дежерина).

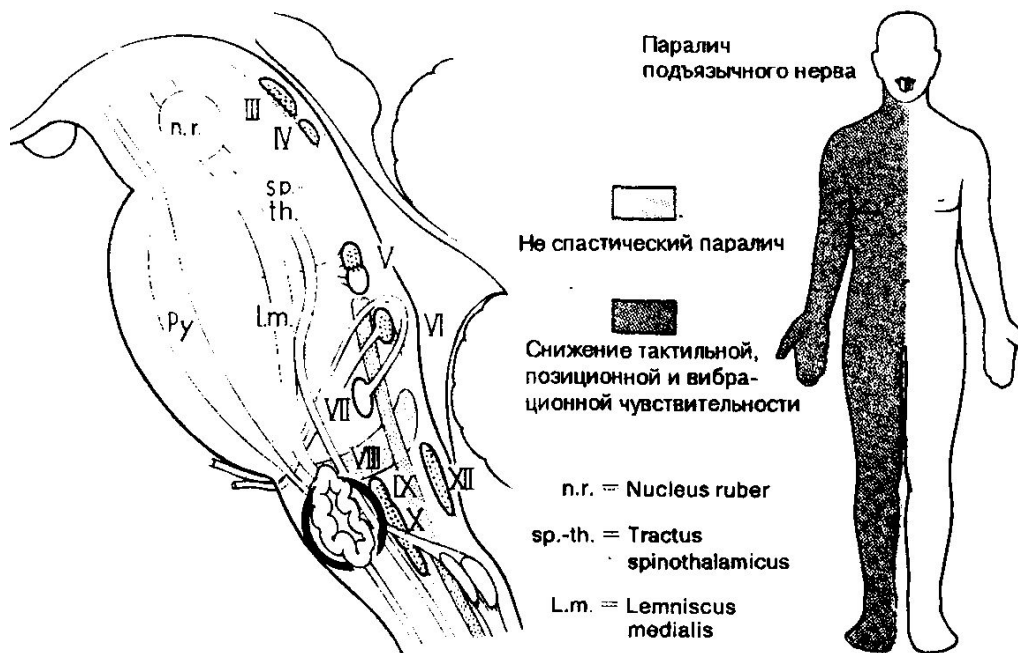
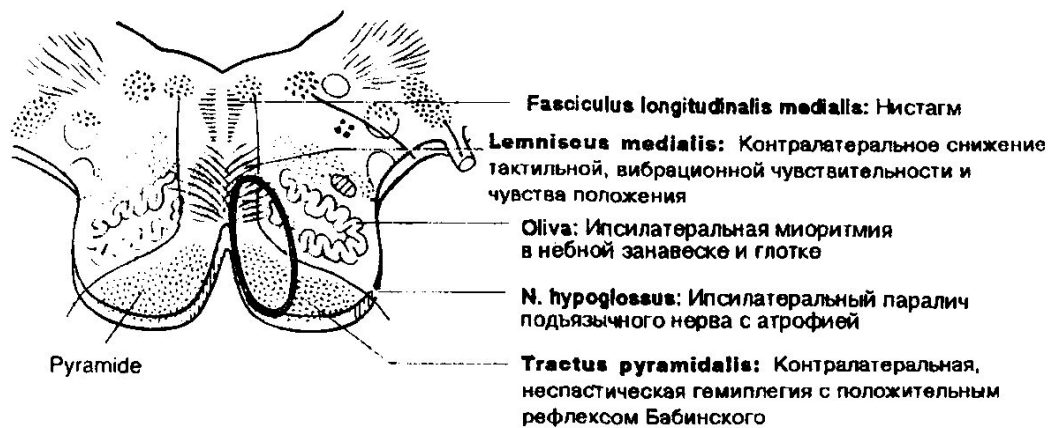
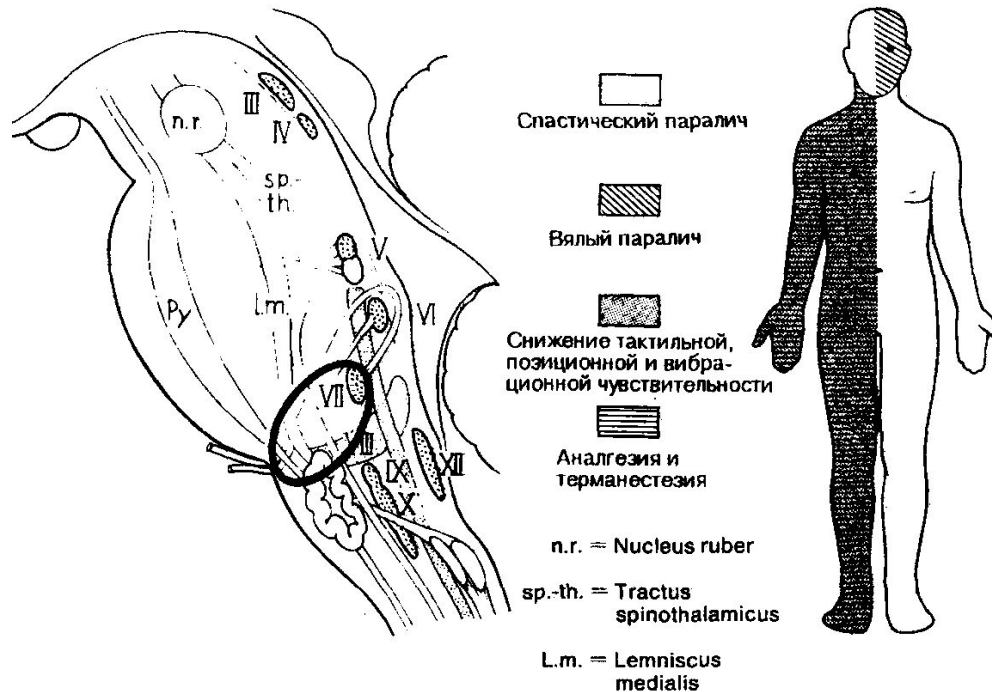
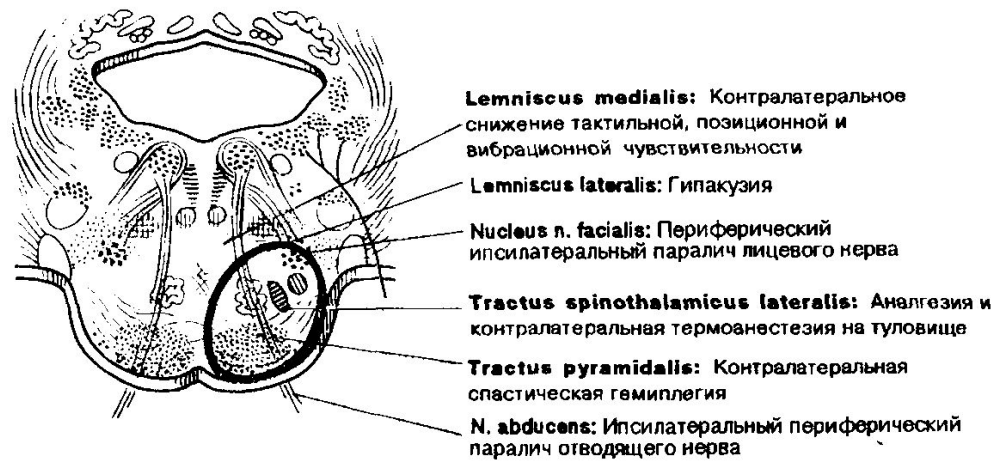


Рис. 3.58 Синдром каудальных отделов основания варолиева моста
(синдром Милляр-Гублера или Фовилля).



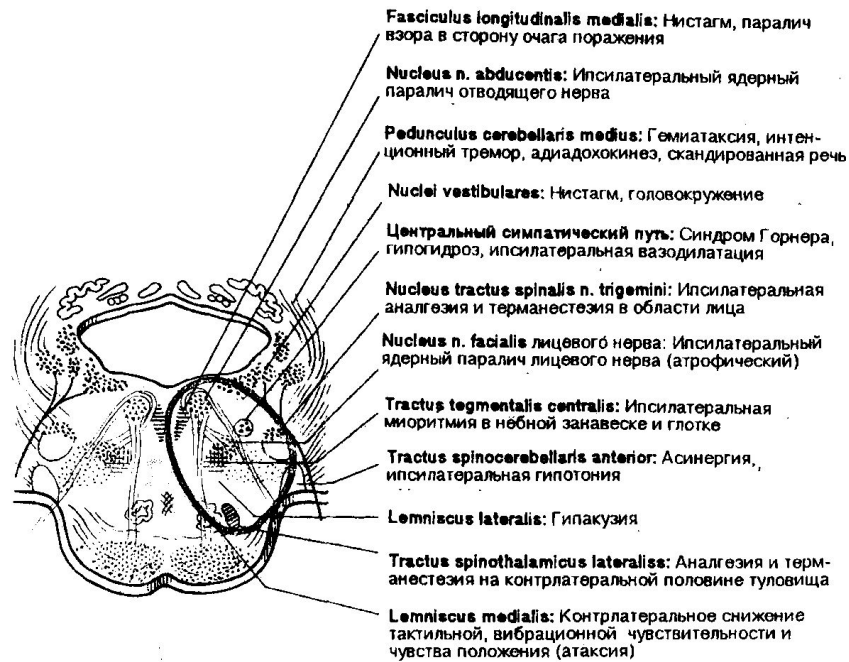
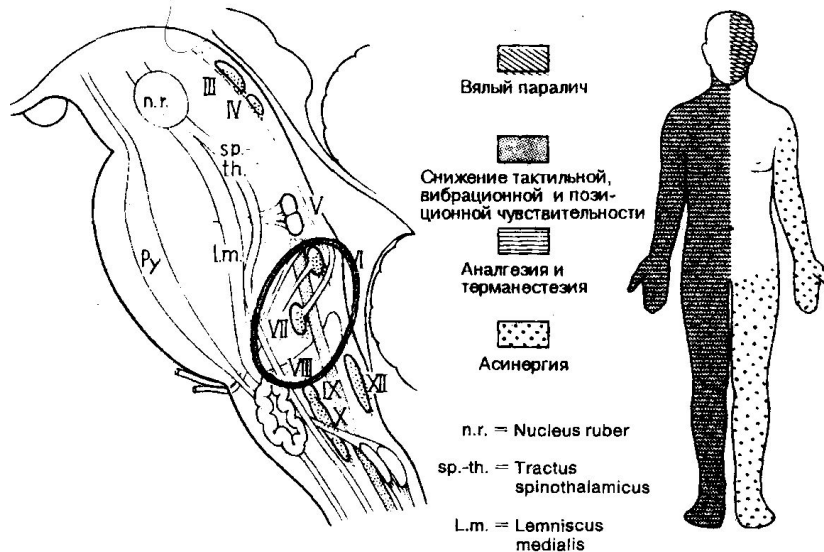


Рис. 3.59 Синдром каудальной части покрышки варолиева моста.



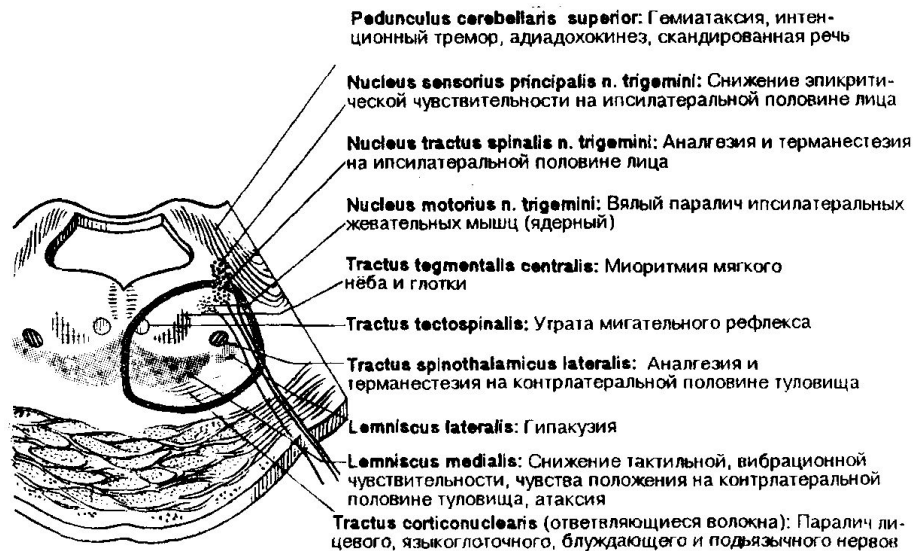


Рис. 3.60 Синдром роstralных отделов покрывки варолиева моста.

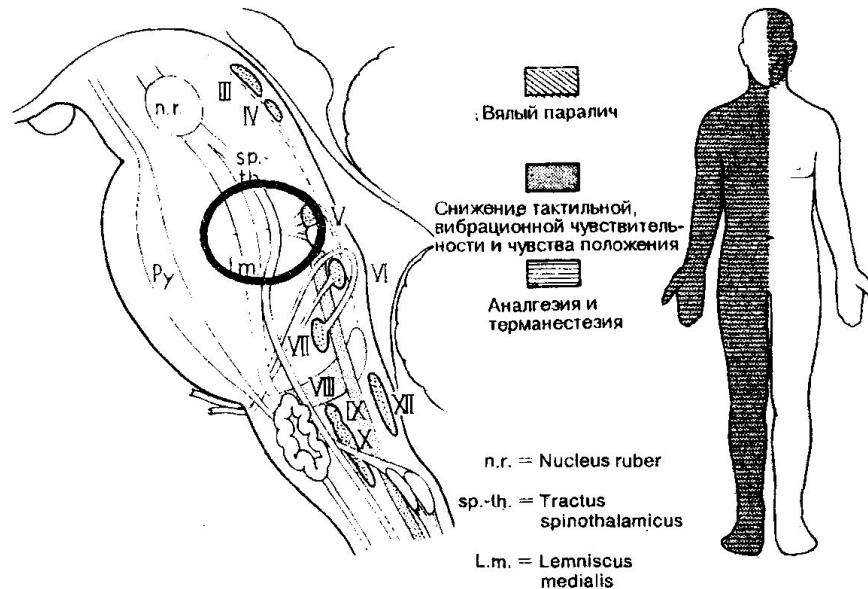


Рис. 3.61 Синдром основания средних отделов варолиева моста.

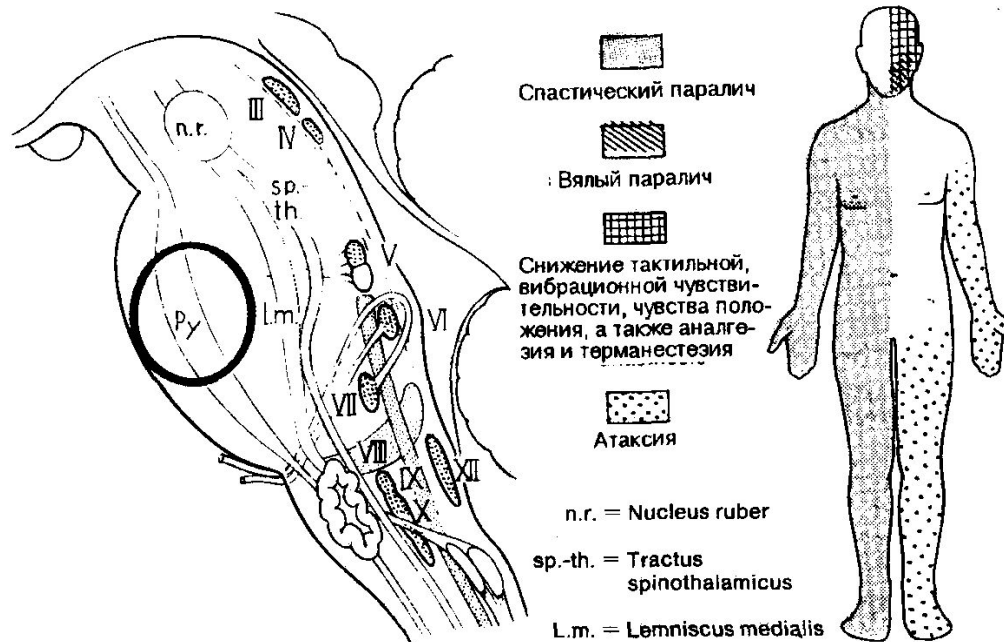
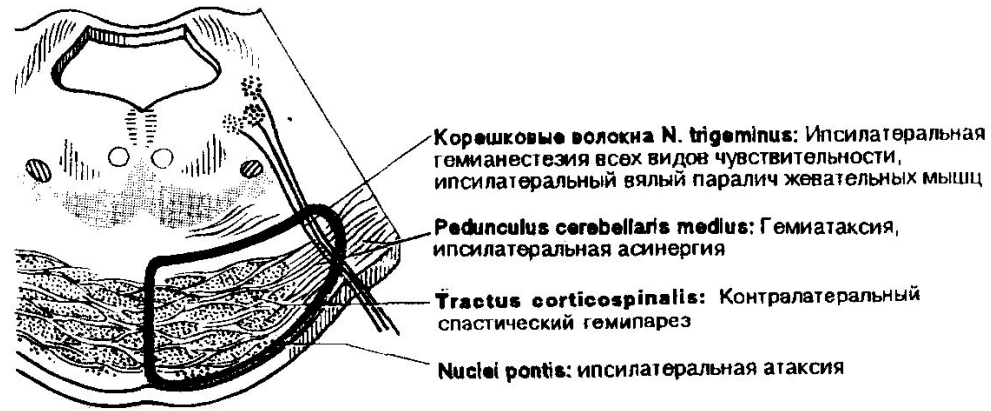


Рис. 3.62 Нижний синдром красного ядра

(синдром Бенедикта).

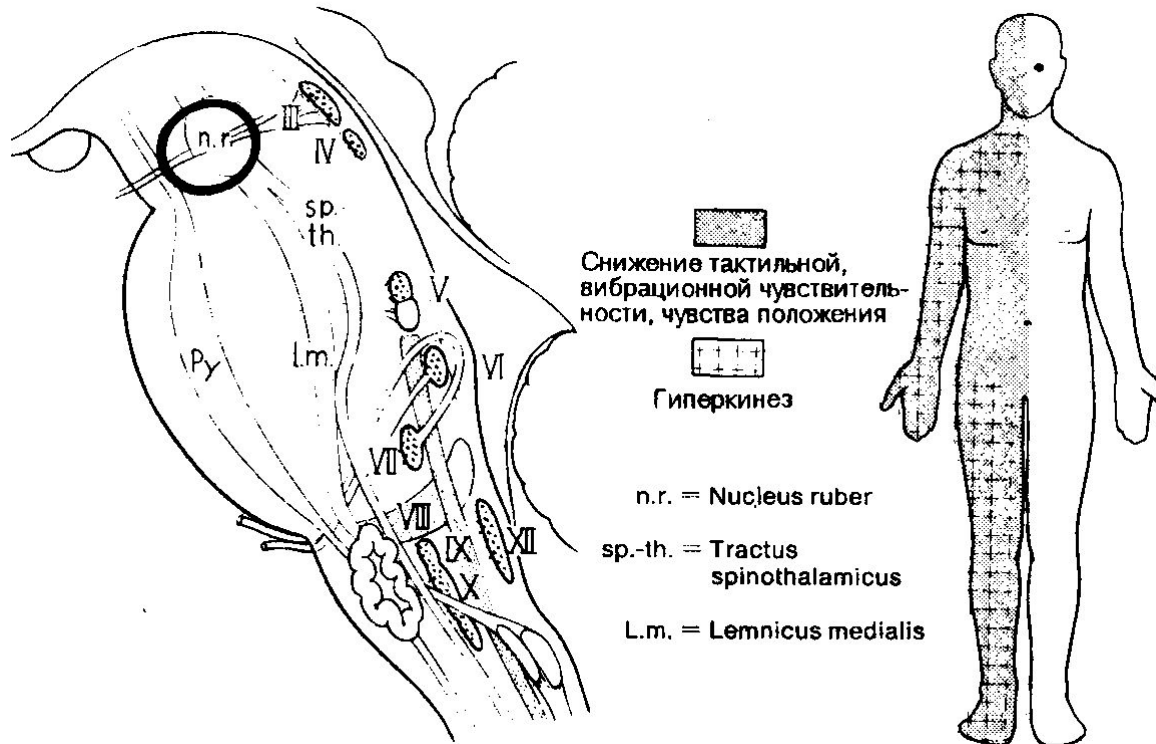
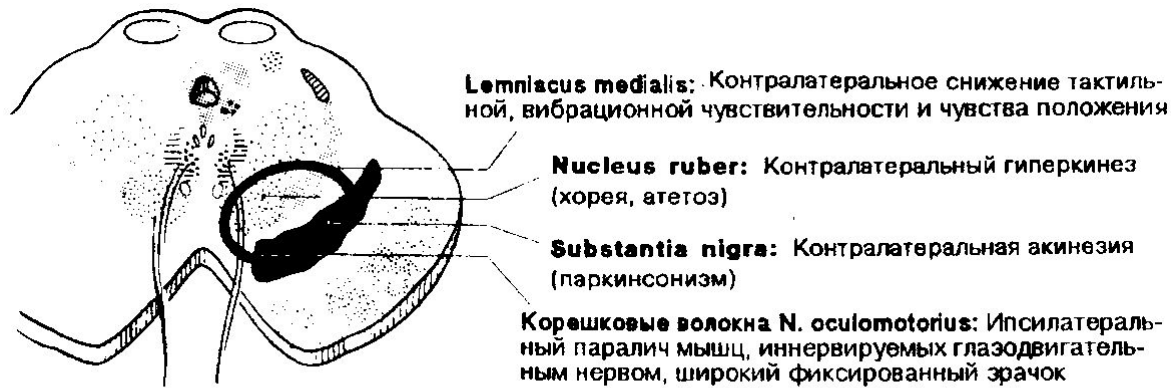
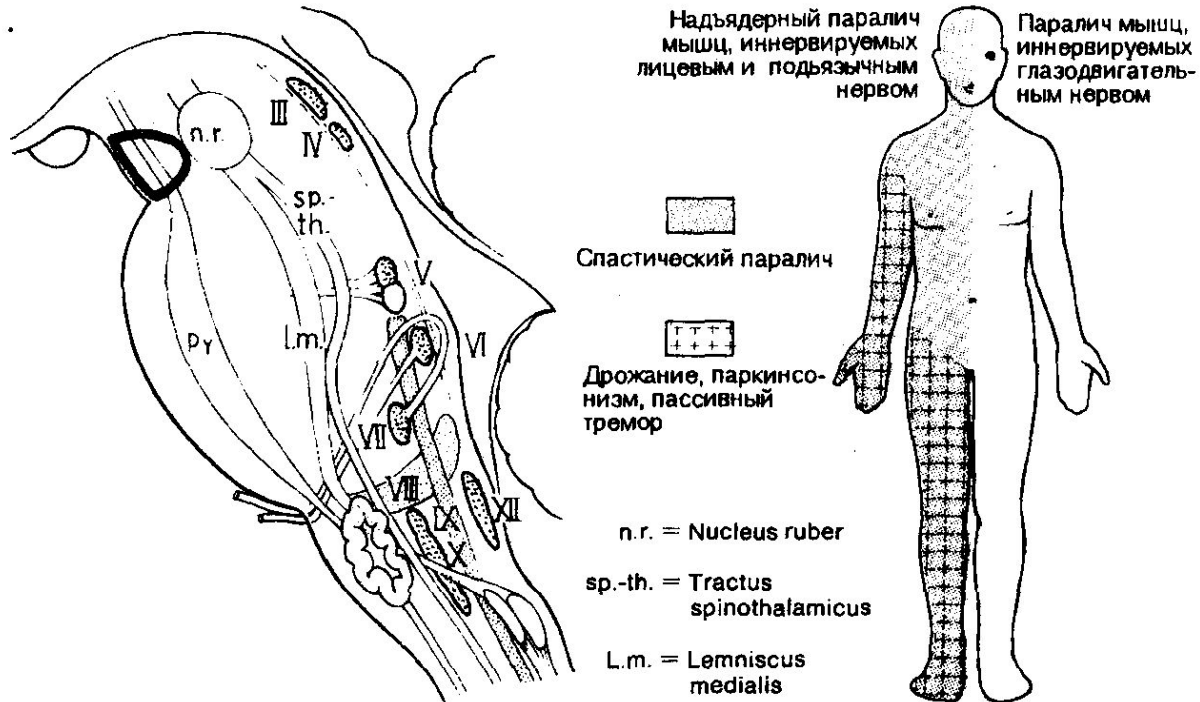
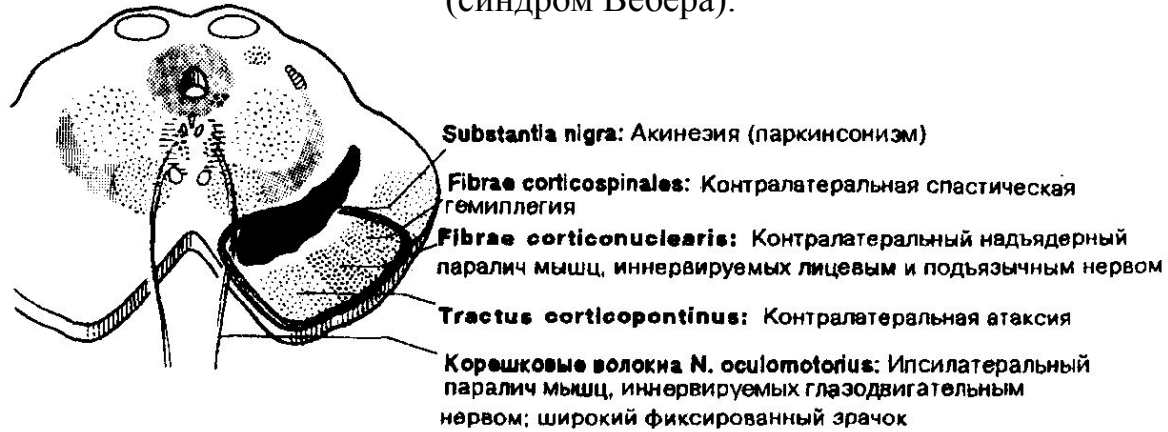


Рис. 3.63 Синдром ножки среднего мозга
(синдром Вебера).



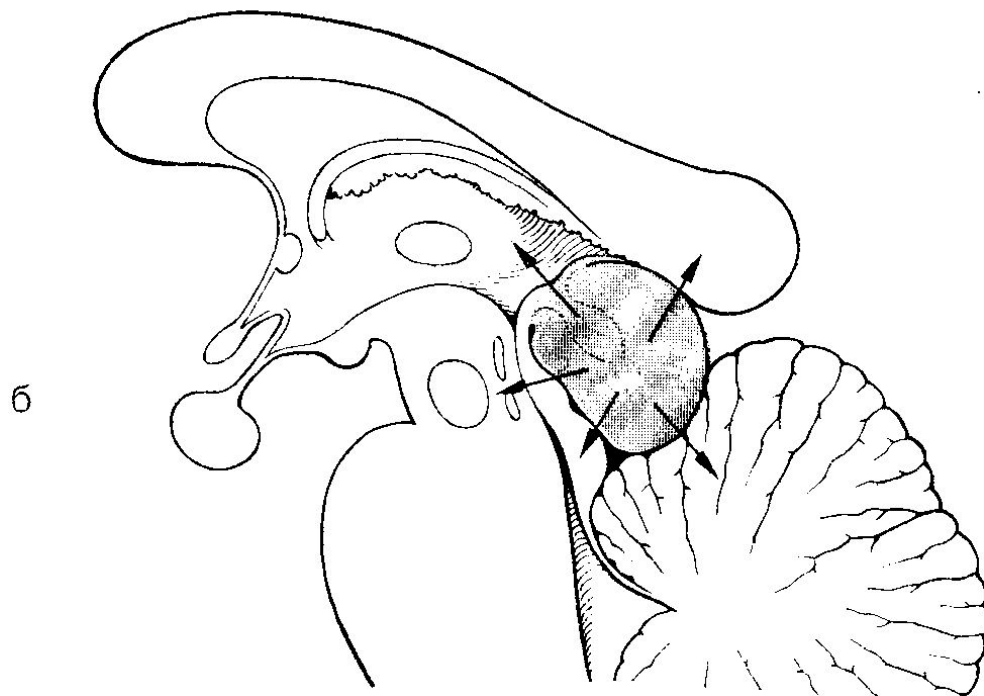
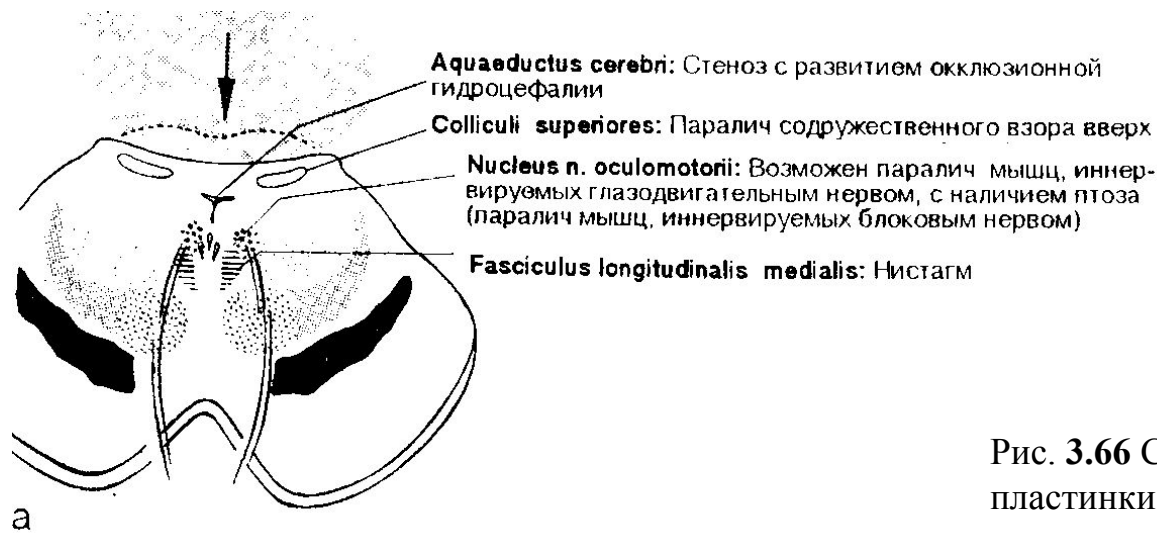


Рис. 3.66 Синдром четверохолмия, пластинки крыши сильвиева водопровода (синдром Парино).
а - Пинеалома, сдавливающая верхние холмики крыши среднего мозга и сильвиев водопровод.
б - Ядра III (IV) нервов и медиальные продольные пути находятся в пределах области деформации.

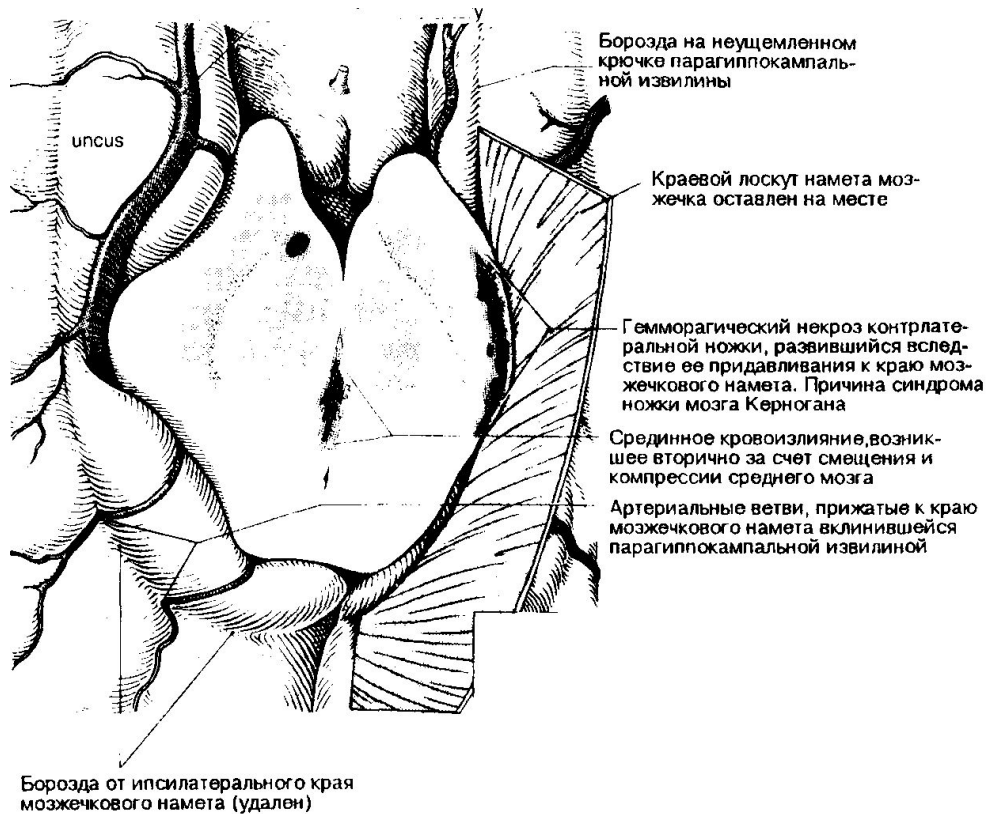


Рис. 3.70 Нормальные анатомические взаимоотношения между средним мозгом и окружающими структурами, для сравнения с Рис. 3.69. (Справа).

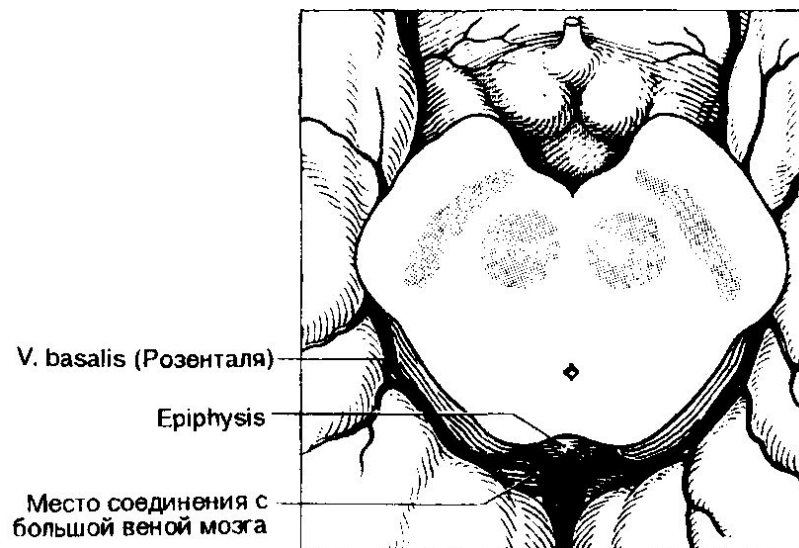


Рис. 3.69 Тяжелое вклинение правого крючка и парагиппокампальной извилины, вызванное субдуральной гематомой, расположенной над правым полушарием головного мозга. Вклинение сосковидных тел в суженную межножковую яму способствует развитию вторичного кровоизлияния в области средней линии. Прижатие среднего мозга к противоположному краю намета мозжечка вызывает геморрагический некроз в области левой ножки мозга с развитием синдрома ножки мозга Керногана. (Рисунок с препарата). (Слева).

Abb. 8.49

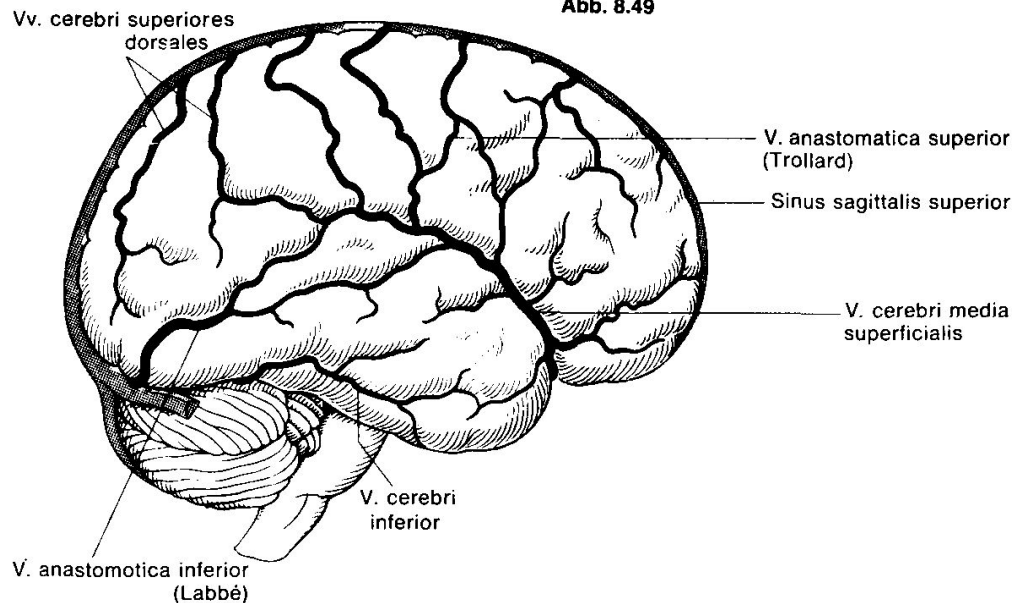


Рис. 8.49 и 8.50 и Вены большого мозга (латеральная и медиальная поверхности).

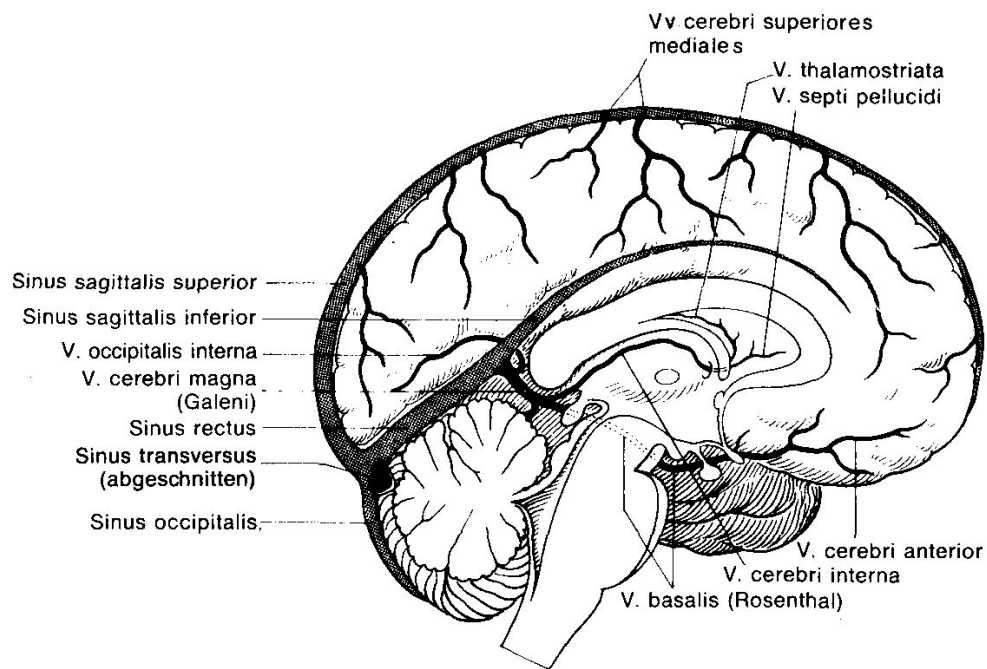
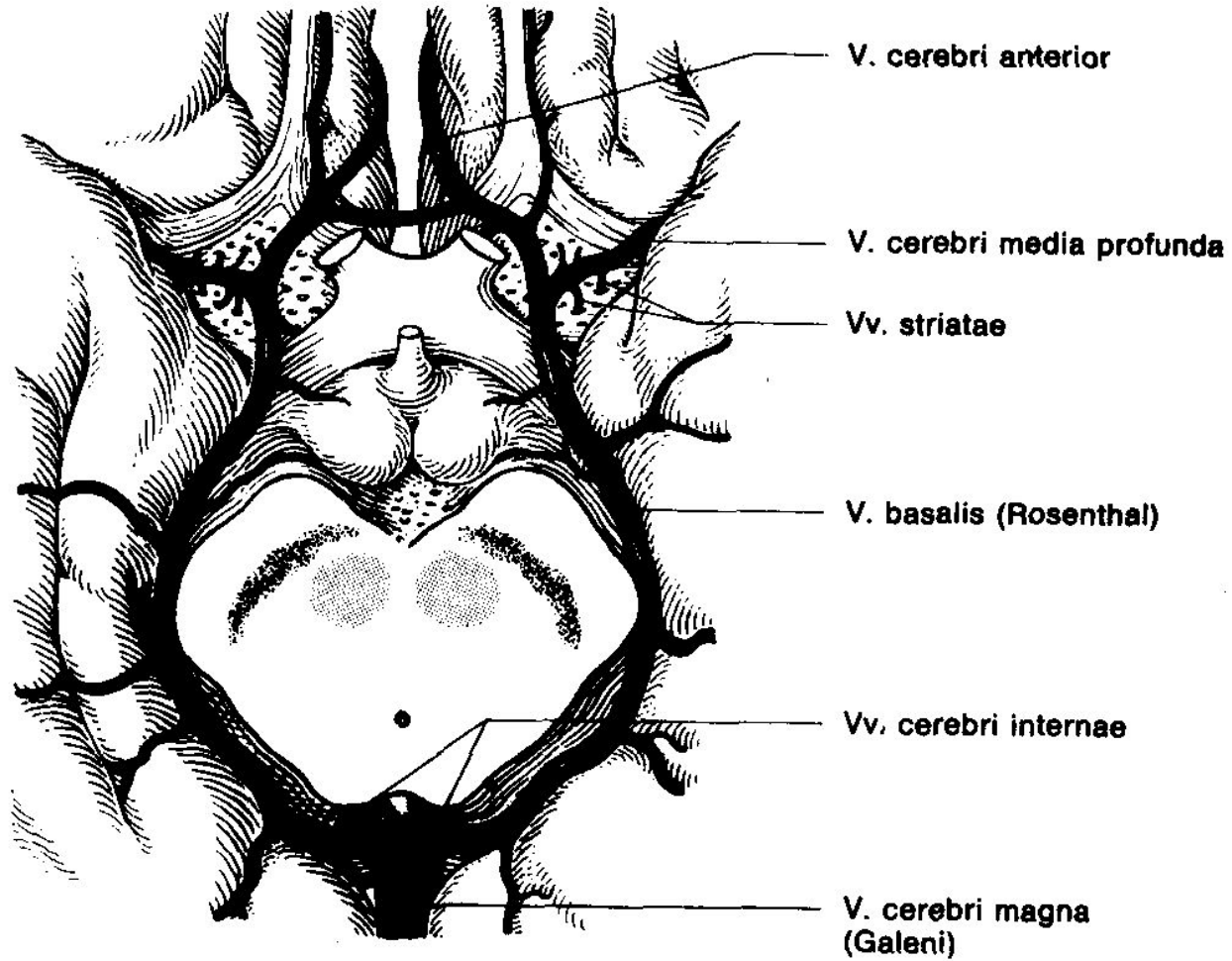


Рис. 8.52 . Вены на основании мозга.



Децеребрационная ригидность

Голова запрокинута
назад (описотонус)

Руки разогнуты и
ротированы внутрь

Кисти и пальцы рук
согнуты

Ноги вытянуты и
ротированы внутрь

Стопы и пальцы ног
согнуты в
эквинуварусном
положении



**Дифференциальная диагностика
декортикационной (А) и децеребрационной (В) ригидности**

